

巨大で疎な組合せ集合を表すための 三分索引化ZDD

青木 洋士 *1

戸田 貴久 *2

湊 真一 *1 *2

*1 北海道大学 情報科学研究科

*2 JST ERATO湊離散構造処理系プロジェクト

目次

- ZDD
 - 研究背景
- 三分探索木
- 提案手法
 - 三分索引化ZDD
 - 既存のZDDと三分索引化ZDDの相互変換
- 実験結果
- まとめ

ZDD (Zero-suppressed Binary Decision Diagram)

集合

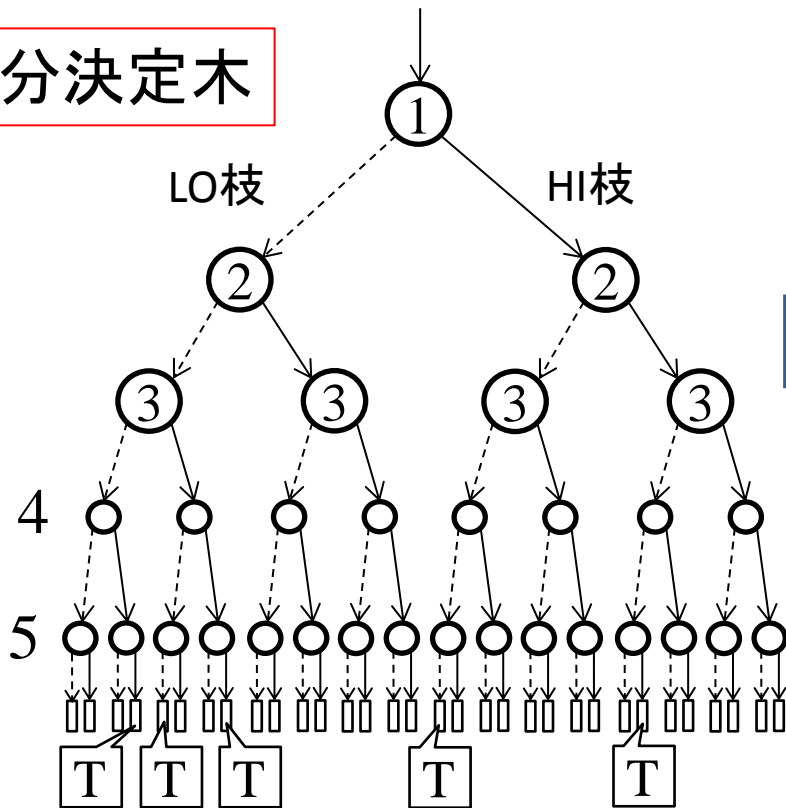
組合せ

{ {1, 2, 5}, {3, 4, 5}, {1}, {3}, {4, 5} }

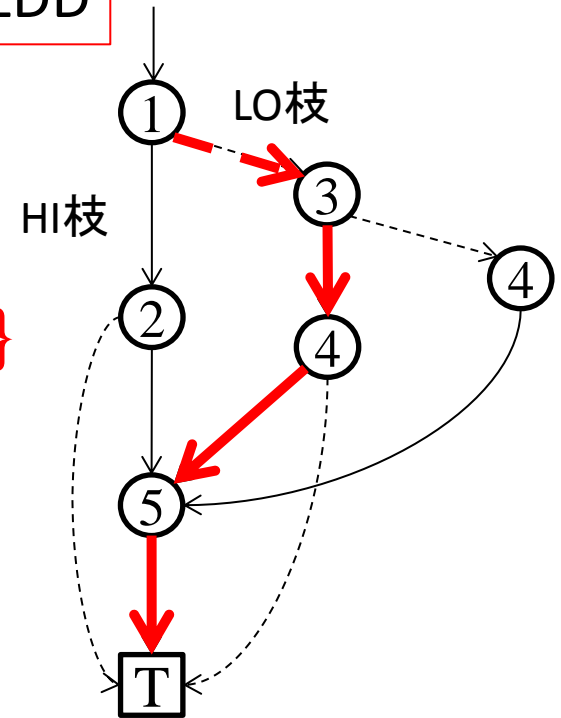
アイテム

- アイテム集合マイニングに利用
- **アイテムの組合せ集合**を表現
- 二分決定木の圧縮形式

二分決定木



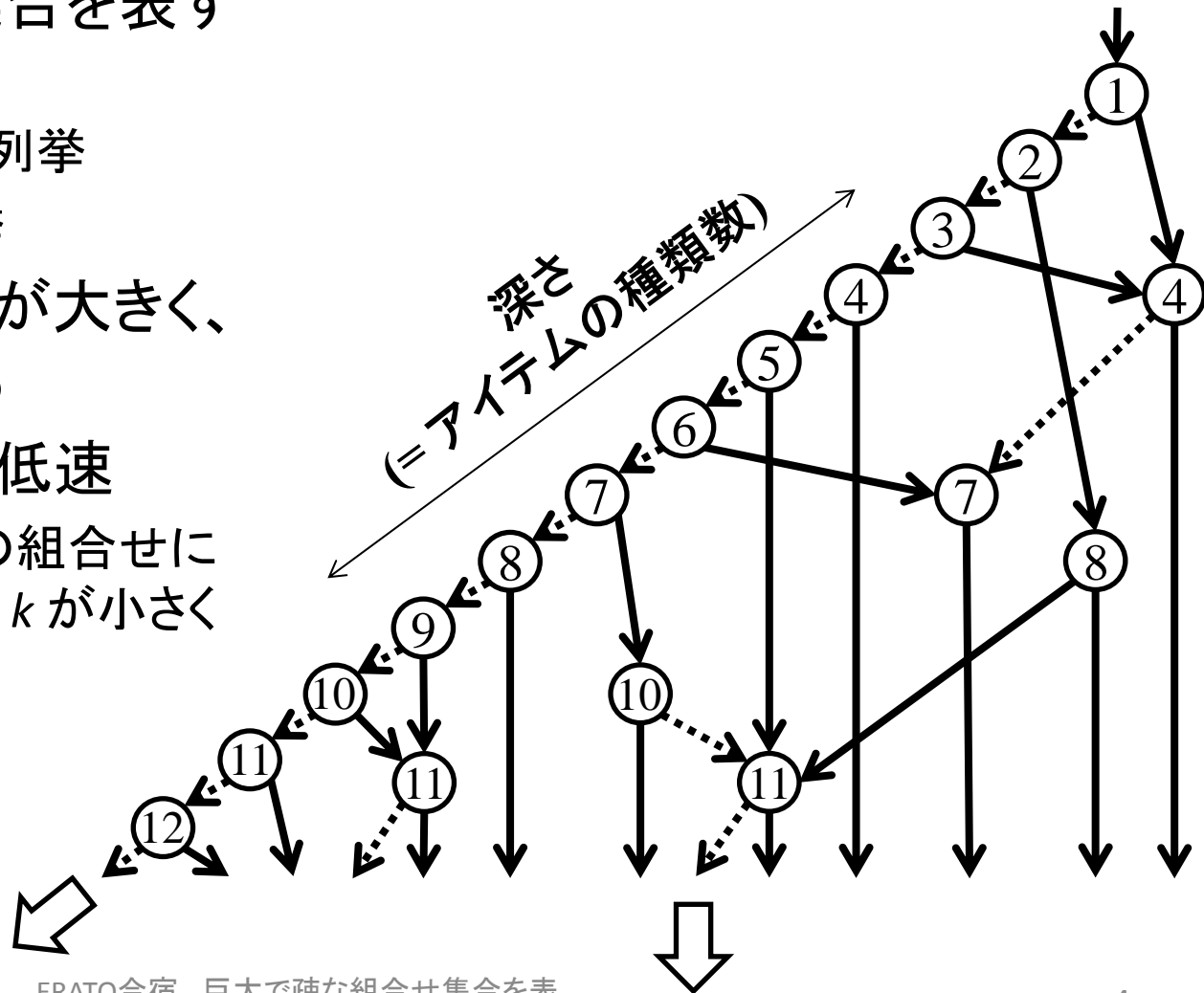
ZDD



{3, 4, 5}

研究背景

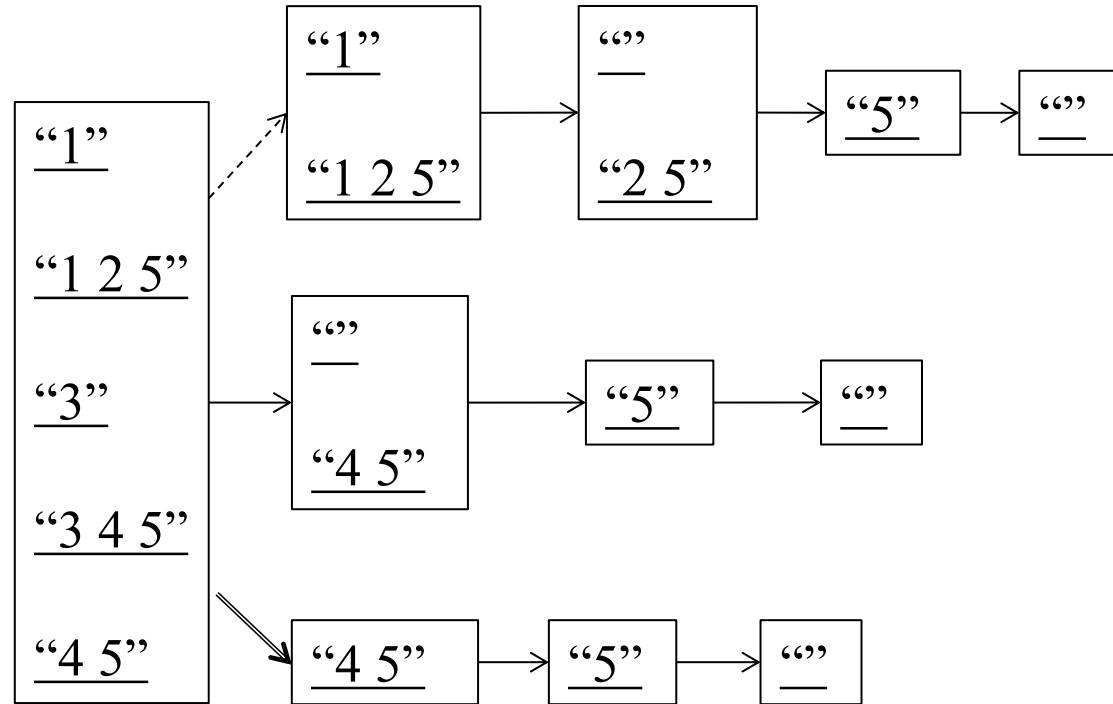
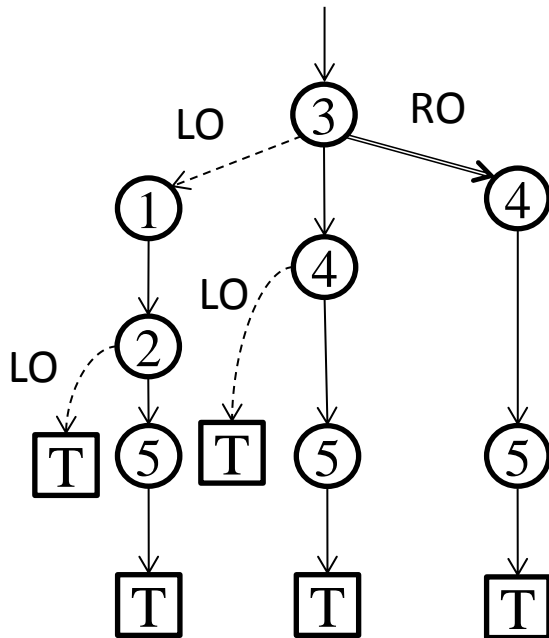
- 巨大で疎な組合せ集合を表すZDDが得られる応用
 - 頻出アイテム集合の列挙
 - 電力の配電網の列挙
- アイテムの種類数 σ が大きく、ZDDの深さが深くなる
- **メンバシップクエリ**が低速
 - クエリサイズ (クエリの組合せに含まれるアイテム数) k が小さくても $O(\sigma)$



三分探索木 (1/2)

- 文字列集合を表現するデータ構造
 - 本研究では組合せ集合を表現

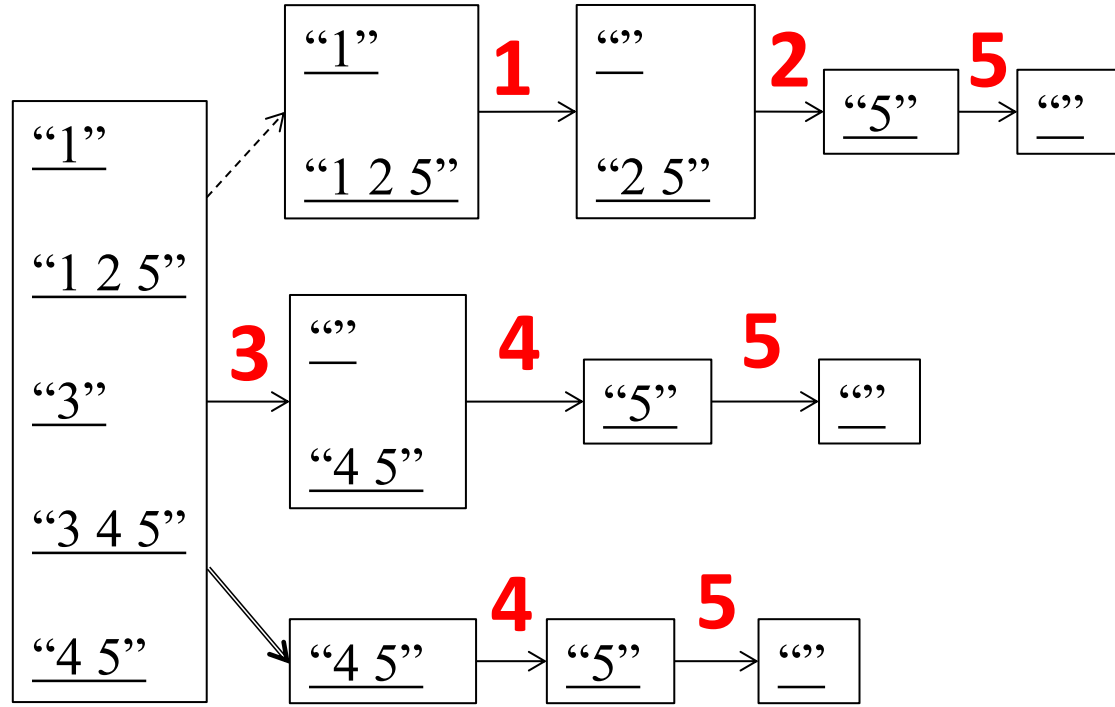
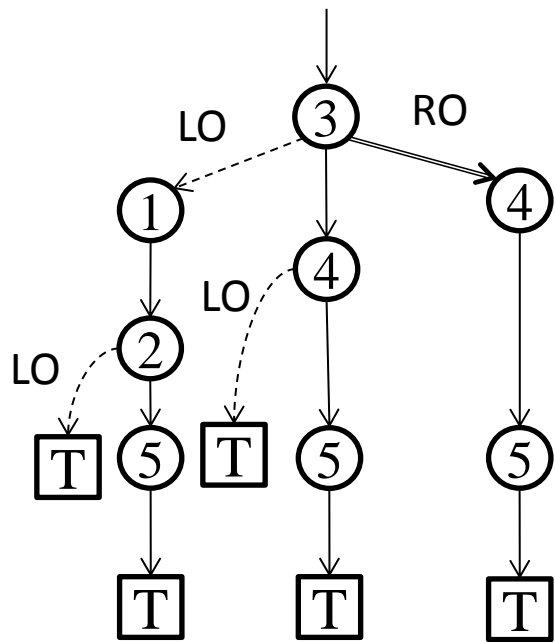
{ {1, 2, 5}, {3, 4, 5}, {1}, {3}, {4, 5} }



三分探索木 (2/2)

- 組合せを辞書順に並べ、中央値の順番の組合せで集合を前後に分割する三分木

{ {1, 2, 5}, {3, 4, 5}, {1}, {3}, {4, 5} }



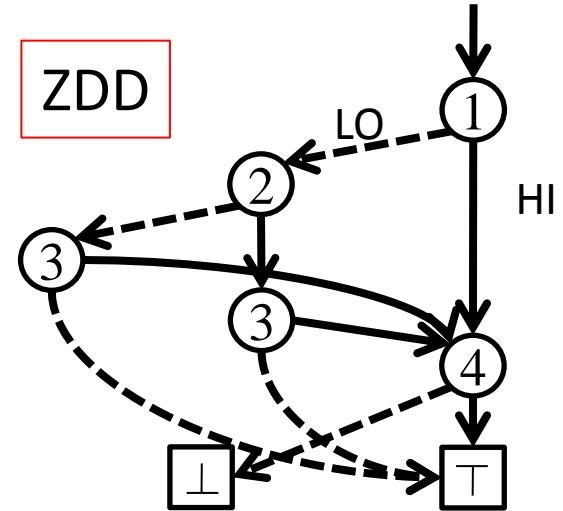
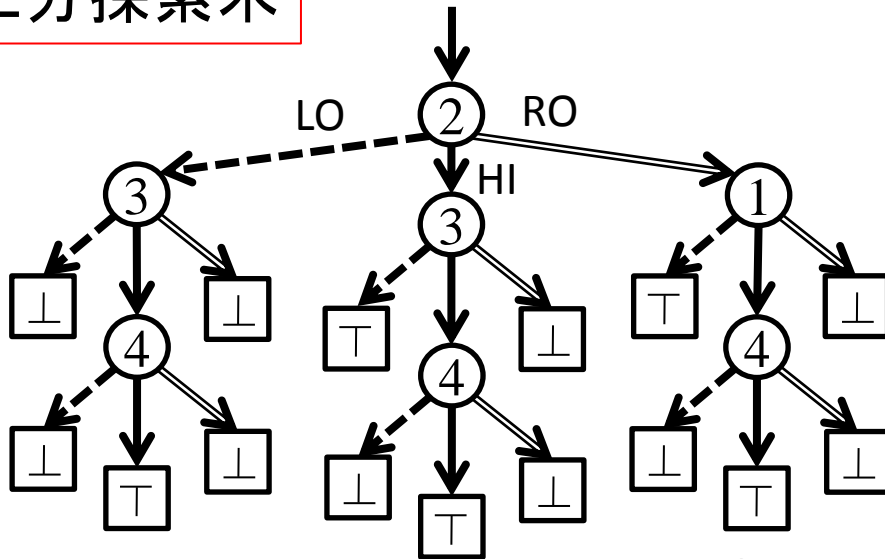
提案手法: 三分索引化ZDD

(Three-way Indexing ZDD, 3-way ZDD)

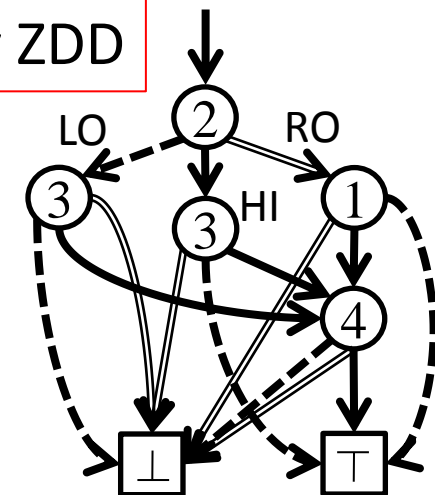
- LO枝, HI枝に加えRO枝を加えたZDD
- 三分探索木の部分グラフを共有したもの

$\{\varnothing, \{1, 4\}, \{2\}, \{2, 3, 4\}, \{3, 4\}\}$

三分探索木



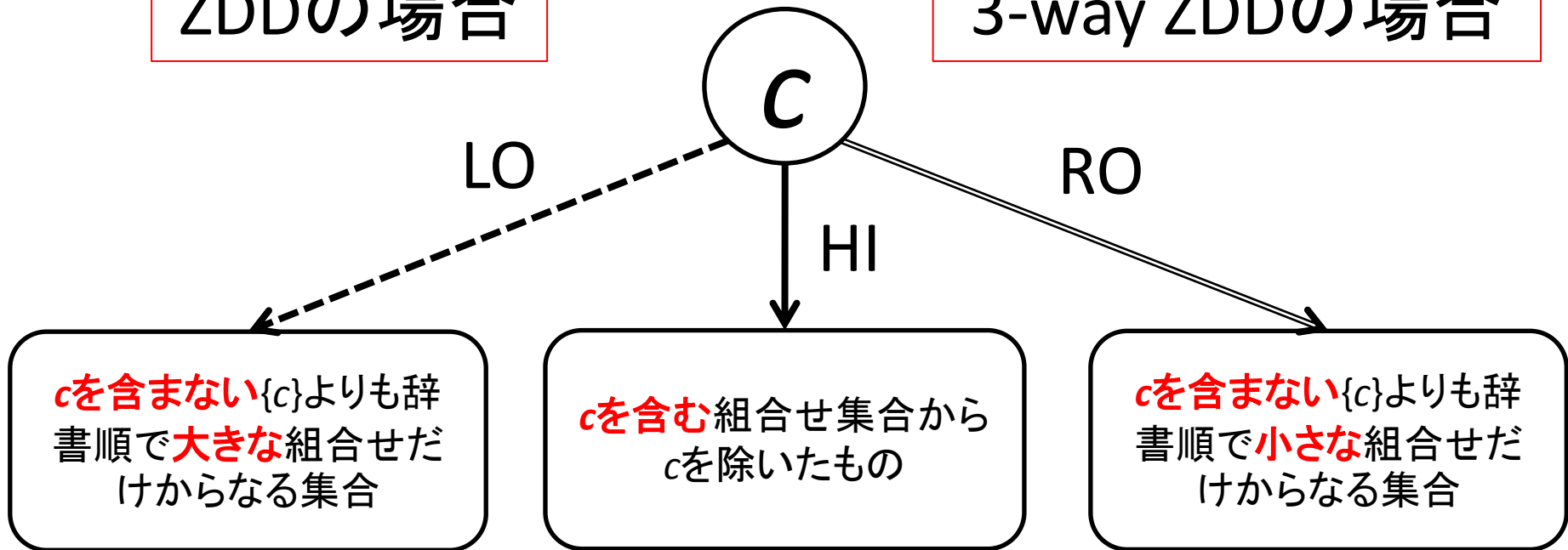
3-way ZDD



節点ラベルの出現順序

ZDDの場合

3-way ZDDの場合



$c = 5$ のとき

$\{\{6\}, \{6, 7\}, \{7, 8, 10\}, \{8, 9\}\}$

$\{\{5, 6, 8\}, \{5, 7\}, \{5\}\}$

$\{\{6, 8\}, \{7\}, \{\varphi\}\}$

$\{\{1, 4, 7\}, \{2, 3\}, \{4\}, \{4, 5, 9\}\}$

3-way ZDDの特徴

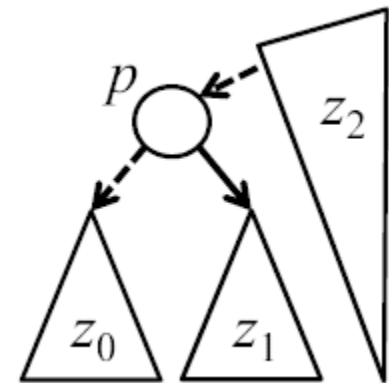
- ZDDと比べた利点
 - 最悪のパスの深さが浅くなる
 - パスの深さに依存するメンバシップクエリが高速
 - ZDD: $O(\sigma)$
 - 3-way ZDD: $\lfloor \lg n \rfloor + k$
- ZDDと比べた欠点
 - 動的にZDDを新しく構築する演算の実現が困難
 - 中央値を再計算する必要があるため

従来のZDDから3-way ZDDへの変換

各再帰呼び出しでZDDを3つの部分に分割

Algorithm 1 従来の ZDD から 3-way ZDD への変換

```
function Z2T(z)
  if  $z = \top$  then
    return  $\top$ ;
  end if
  if  $z = \perp$  then
    return  $\perp$ ;
  end if
   $p \leftarrow \text{FIND\_PIVOT}(z)$ ;
   $z_0 \leftarrow \text{LO}(p)$ ;  $z_1 \leftarrow \text{HI}(p)$ ;  $z_2 \leftarrow z \setminus p$ ;
   $t_0 \leftarrow \text{Z2T}(z_0)$ ;  $t_1 \leftarrow \text{Z2T}(z_1)$ ;  $t_2 \leftarrow \text{Z2T}(z_2)$ ;
   $t \leftarrow \text{TDD\_UNIQUE}(V(p), t_0, t_1, t_2)$ ;
  return  $t$ ;
end function
```



入力ZDD

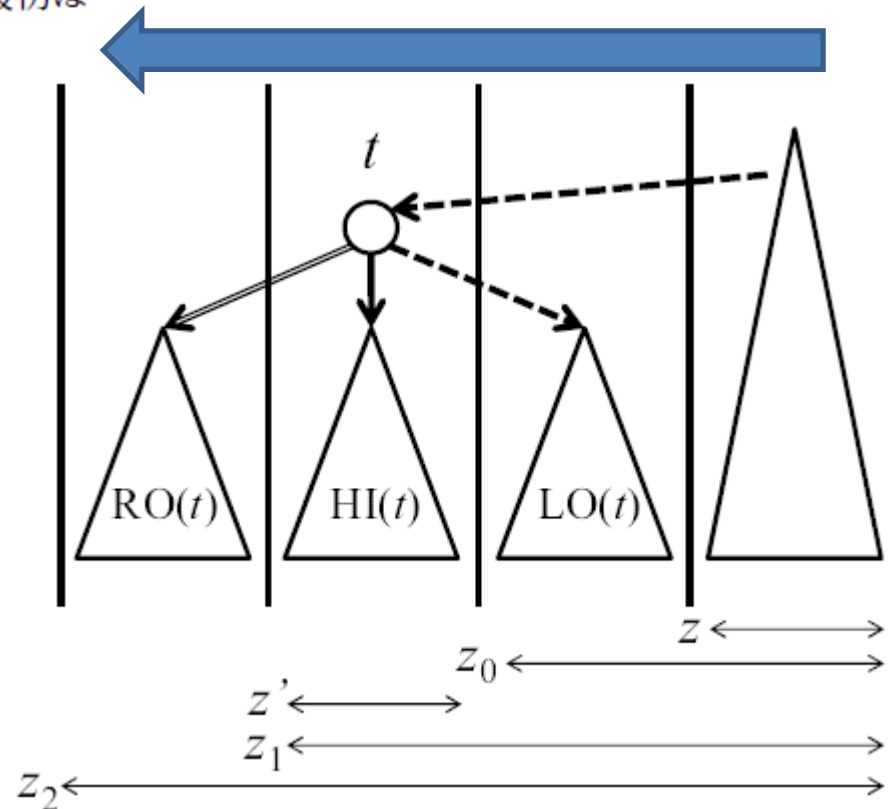
3-way ZDDから従来のZDDへの変換

Algorithm 3 3-way ZDD から従来の ZDD への変換. 最初は $z = \perp$ として呼び出さなければならない.

```

function T2Z( $t, z$ )
  if  $t = \top$  then
    return  $\top$ ;
  end if
  if  $t = \perp$  then
    return  $\perp$ ;
  end if
   $z_0 \leftarrow$  T2Z (LO ( $t$ ),  $z$ );
   $z' \leftarrow$  T2Z (HI ( $t$ ),  $\perp$ );
   $z_1 \leftarrow$  ZDD_UNIQUE (V ( $t$ ),  $z_0, z'$ );
   $z_2 \leftarrow$  T2Z (RO ( $t$ ),  $z_1$ );
  return  $z_2$ ;
end function
  
```

3-way ZDDを全走査し、ボトムアップでZDDを構築

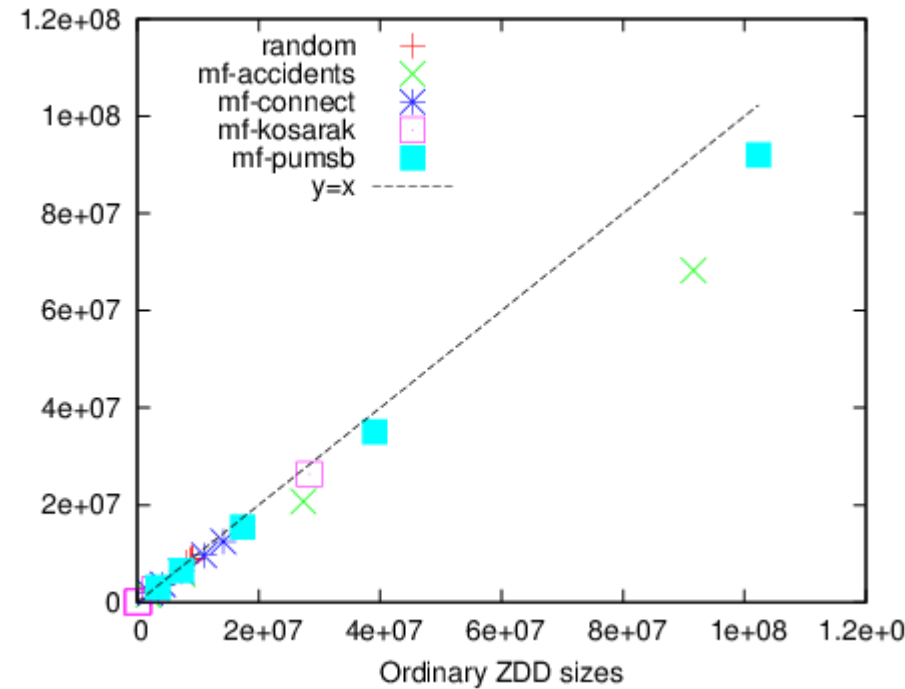
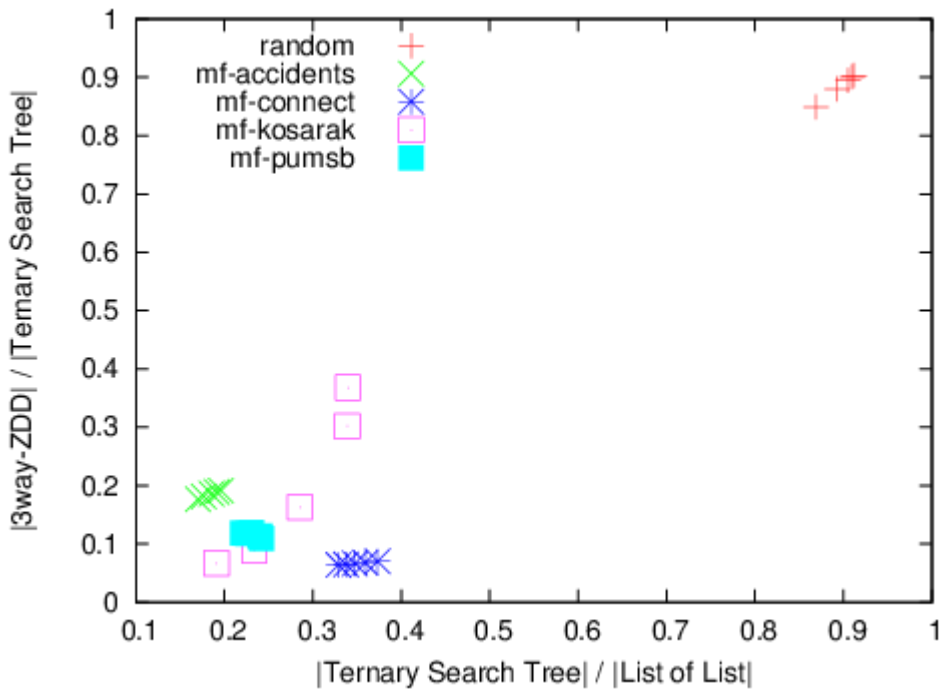


入力3-way ZDD

実験

- 実験1: データ構造のサイズの比較
 - 組合せ集合を表すアイテムの**List of List**
 - 組合せ集合を表す**三分決定木 (Ternary Search Tree)**
 - 組合せ集合を表す**3-way ZDD**
 - 組合せ集合を表す**ZDD**
- 実験2: メンバシップクエリの処理時間の比較
 - ZDDと3-way ZDD
- 実験3: 変換アルゴリズムをナイーブ法と比較
 - ナイーブ手法: "ZDD/3-way ZDD"をアイテムの"List of List"に展開してから、"3-way ZDD/ZDD"に変換する手法

実験1: データ構造のサイズの比較

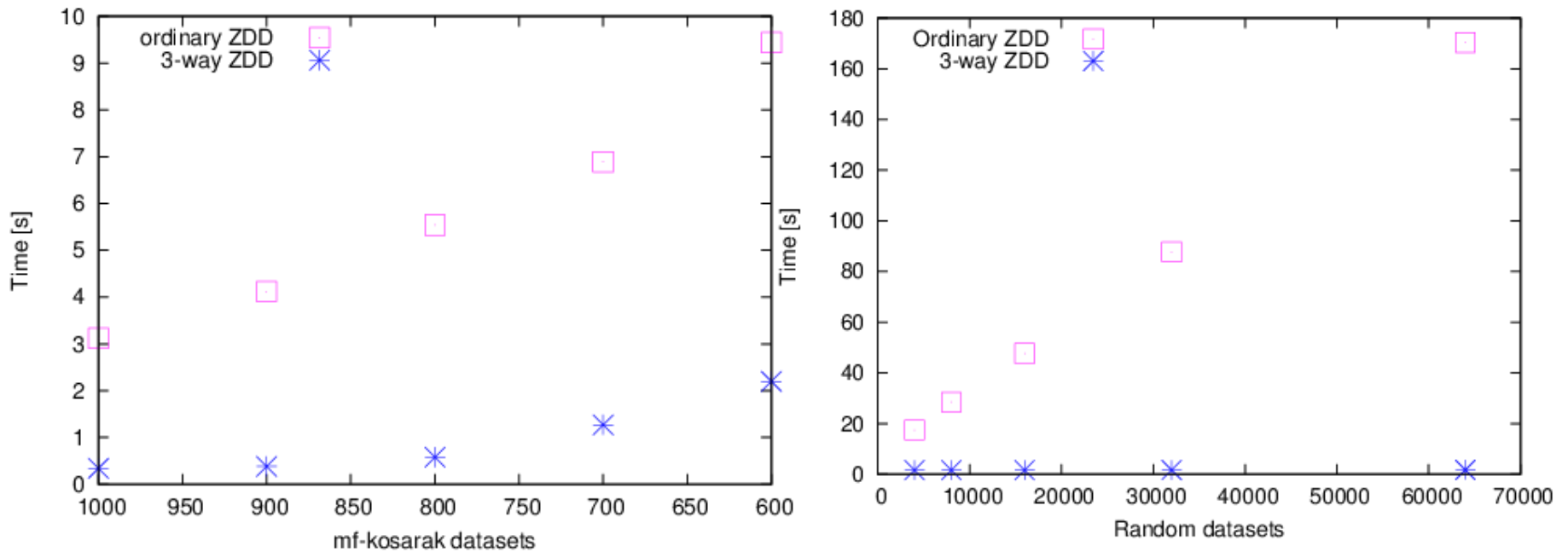


横軸: 三分決定木による接頭辞の圧縮効率
 縦軸: 3-way ZDDによる接尾辞の圧縮効果

従来のZDDと3-way ZDDのサイズの比較

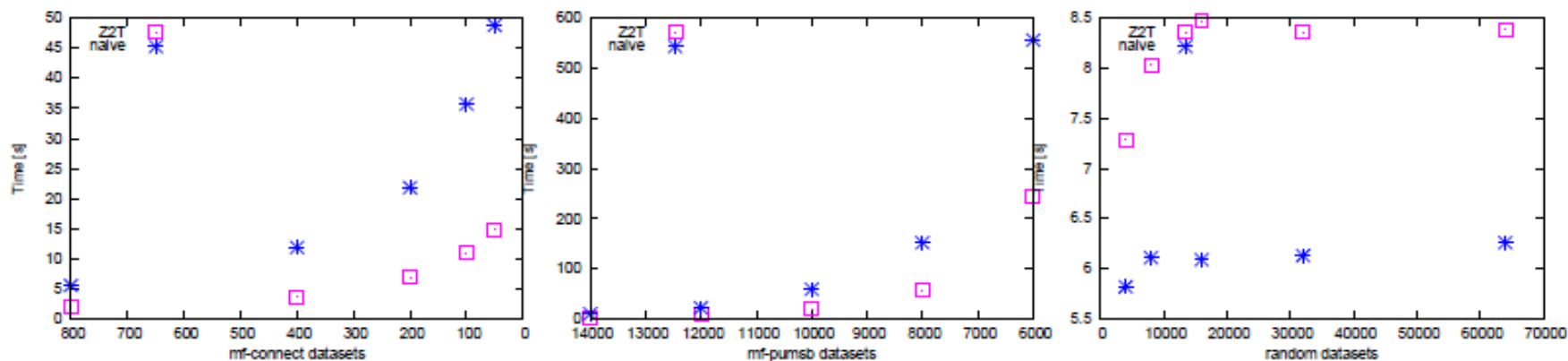
実験2: メンバシップクエリの比較

いずれのデータに対しても、3-way ZDDに対するメンバシップクエリが高速に動作

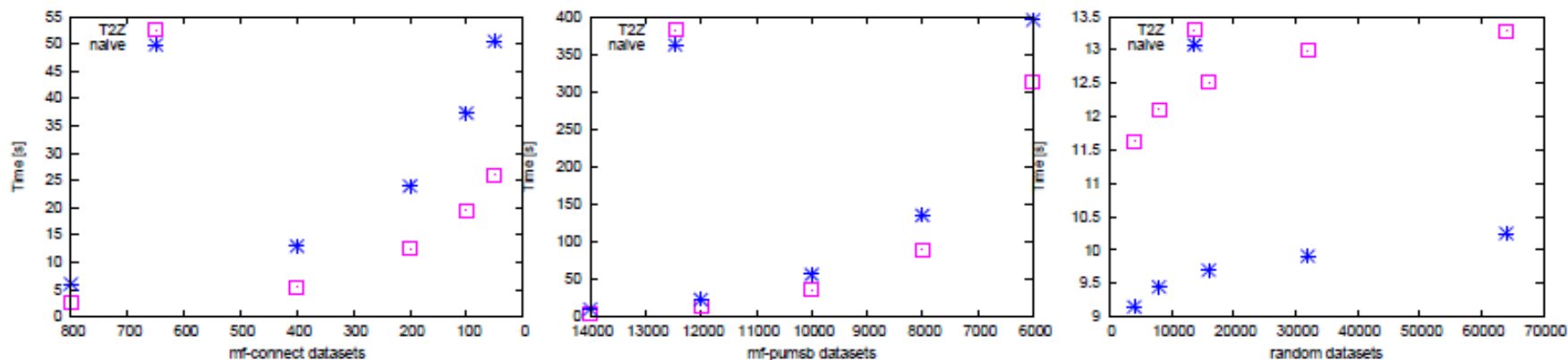


実験3: 変換アルゴリズムの比較

Z2T



T2Z



ランダムに構築したデータ以外では提案手法が高速に動作

まとめ

- 3-way ZDDを提案
 - ZDDと比べてメンバシップクエリが高速
 - 三分探索木と比べて節点数が削減
- ZDDと3-way ZDDの相互変換アルゴリズム
 - ナイーブ法と比べて高速
- 今後の課題
 - 中央値以外の効率の良い分岐の基準の考案